

УДК 537.8

С.В. БЛАЖЕВИЧ\*, Ю.П. ГЛАДКИХ\*, А.В. НОСКОВ\*\*

## ДИНАМИЧЕСКАЯ ТЕОРИЯ ИЗЛУЧЕНИЯ РЕЛЯТИВИСТСКОГО ЭЛЕКТРОНА В ПЕРИОДИЧЕСКОЙ СЛОИСТОЙ СРЕДЕ ВБЛИЗИ НАПРАВЛЕНИЯ ЕГО СКОРОСТИ

Построена динамическая теория когерентного рентгеновского излучения релятивистского электрона, пересекающего периодически слоистую среду в геометрии рассеяния Лауэ. Получены выражения, описывающие спектрально-угловые характеристики излучения вдоль скорости релятивистского электрона. Исследована спектрально-угловая плотность излучения.

*Ключевые слова:* динамическая дифракция, когерентное рентгеновское излучение, периодическая слоистая структура, релятивистский электрон.

### Введение

Излучение релятивистской частицы в периодически слоистой среде традиционно рассматривается в геометрии рассеяния Брэгга для случая, когда отражающие слои располагаются параллельно входной поверхности, то есть для случая симметричного отражения. Это излучение, как правило, рассматривалось как резонансное переходное излучение [1, 2]. В работе [3] излучение из многослойной периодической структуры впервые было представлено в виде суммы дифрагированного переходного излучения (ДПИ) и параметрического рентгеновского излучения (ПРИ). Однако в цитируемых работах излучение релятивистской частицы в многослойной среде рассматривалось только в геометрии рассеяния Брэгга в частном случае симметричного отражения. В этой связи авторами настоящей работы была развита динамическая теория когерентного рентгеновского излучения в направлении рассеяния Брэгга для релятивистского электрона, пересекающего периодически слоистую среду в геометрии рассеяния Лауэ, для случая асимметричного отражения поля электрона относительно поверхности мишени, когда отражающие слои в мишени располагаются под произвольным углом к поверхности мишени [4].

В настоящей работе построена динамическая теория когерентного рентгеновского излучения вдоль скорости релятивистского электрона, пересекающего искусственную периодическую структуру в геометрии рассеяния Лауэ для произвольной асимметрии отражения поля электрона относительно поверхности мишени. На основе двухволнового приближения динамической теории дифракции получены выражения для спектрально-угловой плотности излучения. Проводится сравнение спектрально-угловой плотности ПРИВ в периодической слоистой среде и в монокристалле в аналогичных условиях.

### 1. Амплитуда излучения

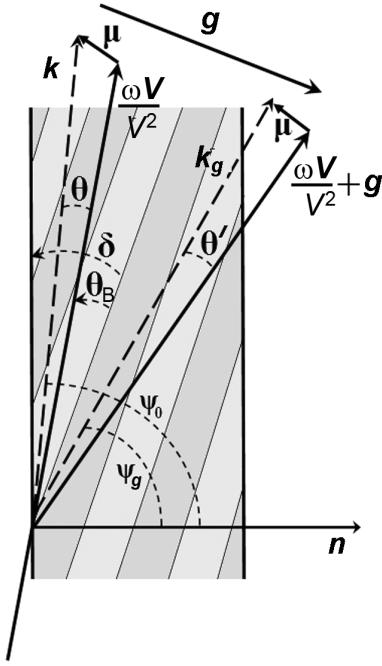
Пусть релятивистский электрон со скоростью  $V$  пересекает многослойную структуру (рис. 1), состоящую из периодически расположенных аморфных слоев толщиной  $a$  и  $b$  ( $T = a + b$  – период структуры), имеющих соответственно диэлектрические восприимчивости  $\chi_a$  и  $\chi_b$ .

Будем использовать двухволновое приближение динамической теории дифракции. Рассмотрим фурье-образ электромагнитного поля

$$\mathbf{E}(\mathbf{k}, \omega) = \int dt d^3r \mathbf{E}(\mathbf{r}, t) \exp(i\omega t - i\mathbf{k}\mathbf{r}). \quad (1)$$

Так как поле релятивистской частицы практически может считаться поперечным, то падающая  $\mathbf{E}_0(\mathbf{k}, \omega)$  и дифрагированная  $\mathbf{E}_g(\mathbf{k}, \omega)$  электромагнитные волны определяются двумя амплитудами с разными значениями поперечной поляризации:

$$\begin{aligned} \mathbf{E}_0(\mathbf{k}, \omega) &= E_0^{(1)}(\mathbf{k}, \omega)\mathbf{e}_0^{(1)} + E_0^{(2)}(\mathbf{k}, \omega)\mathbf{e}_0^{(2)}, \\ \mathbf{E}_g(\mathbf{k}, \omega) &= E_g^{(1)}(\mathbf{k}, \omega)\mathbf{e}_1^{(1)} + E_g^{(2)}(\mathbf{k}, \omega)\mathbf{e}_1^{(2)}, \end{aligned} \quad (2)$$



где векторы  $e_0^{(1)}$  и  $e_0^{(2)}$  перпендикулярны вектору  $k$ , а векторы  $e_1^{(1)}$  и  $e_1^{(2)}$  – вектору  $k_g = k + g$ . Векторы  $e_0^{(2)}$ ,  $e_1^{(2)}$  лежат в плоскости векторов  $k$  и  $k_g$  ( $\pi$ -поляризация), а векторы  $e_0^{(1)}$  и  $e_1^{(1)}$  перпендикулярны ей ( $\sigma$ -поляризация). Вектор  $g$  анало-

Рис. 1. Геометрия процесса излучения и система обозначений используемых величин:  $\theta$  и  $\theta'$  – углы излучения;  $\theta_B$  – угол Брэгга (угол между скоростью электрона  $V$  и слоями пластинки);  $\delta$  – угол между поверхностью пластины и отражающими слоями;  $k$  и  $k_g$  – волновые векторы подающего и дифрагированного фотона

гичен вектору обратной решетки в кристалле, он перпендикулярен слоям, и его длина равна  $g = \frac{2\pi}{T}n$ ,  $n = 0, \pm 1, \pm 2, \dots$

Система уравнений для фурье-образа электромагнитного поля в двухволновом приближении динамической теории дифракции имеет следующий вид [5]:

$$\begin{cases} (\omega^2(1 + \chi_0) - k^2)E_0^{(s)} + \omega^2\chi_{-g}C^{(s)}E_g^{(s)} = 8\pi^2ie\omega\theta VP^{(s)}\delta(\omega - kV), \\ \omega^2\chi_gC^{(s)}E_0^{(s)} + (\omega^2(1 + \chi_0) - k_g^2)E_g^{(s)} = 0, \end{cases} \quad (3)$$

где  $\chi_g$ ,  $\chi_{-g}$  – коэффициенты фурье-разложения диэлектрической восприимчивости периодической структуры по векторам  $g$ :

$$\chi(\omega, r) = \sum_g \chi_g(\omega) \exp(igr) = \sum_g (\chi'_g(\omega) + i\chi''_g(\omega)) \exp(igr). \quad (4)$$

Величины  $C^{(s)}$  и  $P^{(s)}$  в системе (3) определены следующим образом:

$$\begin{aligned} C^{(s)} &= e_0^{(s)} e_1^{(s)}, & C^{(1)} &= 1, & C^{(2)} &= \cos 2\theta_B, \\ P^{(s)} &= e_0^{(s)} (\mu / \mu), & P^{(1)} &= \sin \varphi, & P^{(2)} &= \cos \varphi. \end{aligned} \quad (5)$$

Здесь  $\mu = k - \omega V / V^2$  – составляющая импульса виртуального фотона, перпендикулярная скорости частицы  $V$  ( $\mu = \omega\theta / V$ , где  $\theta \ll 1$  – угол между векторами  $k$  и  $V$ );  $\theta_B$  – угол Брэгга;  $\varphi$  – азимутальный угол излучения, отсчитываемый от плоскости, образованной вектором скорости  $V$  и вектором  $g$ , перпендикулярным отражающим слоям. Длину вектора  $g$  можно выразить через угол Брэгга и частоту Брэгга  $\omega_B$ :  $g = 2\omega_B \sin \theta_B / V$ . Угол между вектором  $\frac{\omega V}{V^2}$  и волновым вектором падающей волны  $k$  обозначен  $\theta$ , а угол между вектором  $\frac{\omega V}{V^2} + g$  и волновым вектором дифрагированной волны  $k_g$  обозначен  $\theta'$ . Система уравнений (3) при параметре  $s=1$  описывает поля  $\sigma$ -поляризованные, а при  $s=2$  –  $\pi$ -поляризованные.

Величины  $\chi_0$  и  $\chi_g$  в рассматриваемой периодической структуре имеют следующий вид:

$$\chi_0(\omega) = \frac{a}{T}\chi_a + \frac{b}{T}\chi_b, \quad \chi_g(\omega) = \frac{\exp(-iga) - 1}{igT}(\chi_b - \chi_a). \quad (6)$$

Из (6) следуют используемые далее соотношения:

$$\chi'_0 = \frac{a}{T}\chi'_a + \frac{b}{T}\chi'_b, \quad \chi''_0 = \frac{a}{T}\chi''_a + \frac{b}{T}\chi''_b,$$

$$\operatorname{Re} \sqrt{\chi_g \chi_{-g}} = \frac{2 \sin\left(\frac{ga}{2}\right)}{gT} (\chi'_b - \chi'_a), \quad \operatorname{Im} \sqrt{\chi_g \chi_{-g}} = \frac{2 \sin\left(\frac{ga}{2}\right)}{gT} (\chi''_b - \chi''_a). \quad (7)$$

Решая следующее из системы (3) дисперсионное уравнение

$$(\omega^2(1+\chi_0) - k^2)(\omega^2(1+\chi_0) - k_g^2) - \omega^4 \chi_{-g} \chi_g C^{(s)2} = 0 \quad (8)$$

стандартными методами динамической теории [6], найдем  $k$  и  $k_g$ :

$$k = \omega \sqrt{1+\chi_0} + \lambda_0, \quad k_g = \omega \sqrt{1+\chi_0} + \lambda_g; \quad (9)$$

$$\lambda_g^{(1,2)} = \frac{\omega}{4} \left( \beta \pm \sqrt{\beta^2 + 4\chi_g \chi_{-g} C^{(s)2} \frac{\gamma_g}{\gamma_0}} \right); \quad (10)$$

$$\lambda_0^{(1,2)} = \omega \frac{\gamma_0}{4\gamma_g} \left( -\beta \pm \sqrt{\beta^2 + 4\chi_g \chi_{-g} C^{(s)2} \frac{\gamma_g}{\gamma_0}} \right), \quad (11)$$

где  $\beta = \alpha - \chi_0 \left(1 - \frac{\gamma_g}{\gamma_0}\right)$ ;  $\alpha = \frac{1}{\omega^2}(k_g^2 - k^2)$ ;  $\gamma_0 = \cos \psi_0$ ;  $\gamma_g = \cos \psi_g$ ;  $\psi_0$  – угол между волновым вектором подающей волны  $\mathbf{k}$  и вектором нормали к поверхности пластинки  $\mathbf{n}$ ;  $\psi_g$  – угол между волновым вектором  $\mathbf{k}_g$  и вектором  $\mathbf{n}$  (см. рис. 1). Динамические добавки  $\lambda_0$  и  $\lambda_g$  для рентгеновских волн связаны соотношением

$$\lambda_g = \frac{\omega \beta}{2} + \lambda_0 \frac{\gamma_g}{\gamma_0}. \quad (12)$$

Так как динамические добавки малы,  $|\lambda_0| \ll \omega$ ,  $|\lambda_g| \ll \omega$ , можно показать, что  $\theta \approx \theta'$  (см. рис. 1), и поэтому в дальнейшем угол  $\theta'$  будем обозначать как  $\theta$ .

Решение системы уравнений (3) для падающего поля в периодической структуре удобно представить в виде

$$E_0^{(s)\text{medium}} = \frac{8\pi^2 i e V \theta P^{(s)}}{\omega} \frac{-\omega^2 \beta - 2\omega \frac{\gamma_g}{\gamma_0} \lambda_0}{4 \frac{\gamma_g}{\gamma_0} (\lambda_0 - \lambda_0^{(1)}) (\lambda_0 - \lambda_0^{(2)})} \delta(\lambda_0 - \lambda_0^*) + \\ + E_0^{(s)(1)} \delta(\lambda_0 - \lambda_0^{(1)}) + E_0^{(s)(2)} \delta(\lambda_0 - \lambda_0^{(2)}), \quad (13)$$

где  $\lambda_0^* = \omega \left( \frac{\gamma^{-2} + \theta^2 - \chi_0}{2} \right)$ ,  $\gamma = 1/\sqrt{1-V^2}$  – лоренц-фактор частицы, а  $E_0^{(s)(1)}$ ,  $E_0^{(s)(2)}$  – свободные падающие поля в рассматриваемой среде.

Для поля в вакууме перед периодической структурой решение системы (3) имеет вид

$$E_0^{(s)\text{vacI}} = \frac{8\pi^2 i e V \theta P^{(s)}}{\omega} \frac{1}{-\chi_0 - \frac{2}{\omega} \lambda_0} \delta(\lambda_0 - \lambda_0^*). \quad (14)$$

Выражение для поля в вакууме позади мишени запишем в виде

$$E_0^{(s)\text{vacII}} = \frac{8\pi^2 i e V \theta P^{(s)}}{\omega} \frac{1}{-\chi_0 - \frac{2\lambda_0}{\omega}} \delta(\lambda_0 - \lambda_0^*) + E_0^{(s)\text{rad}} \delta\left(\lambda_0 + \frac{\omega \chi_0}{2}\right), \quad (15)$$

где  $E_0^{(s)\text{rad}}$  – амплитуда поля когерентного излучения вдоль скорости электрона.

Из второго уравнения системы уравнений (3) следует выражение, связывающее дифрагированное и падающее поля в кристалле:

$$E_0^{(s)\text{medium}} = \frac{2\omega\lambda_g}{\omega^2\chi_g C^{(s)}} E_g^{(s)\text{medium}}. \quad (16)$$

Воспользовавшись обычными граничными условиями на входной и выходной поверхности мишени

$$\int E_0^{(s)\text{vac I}} d\lambda_0 = \int E_0^{(s)\text{medium}} d\lambda_0, \quad \int E_g^{(s)\text{medium}} d\lambda_0 = 0, \\ \int E_0^{(s)\text{medium}} e^{i\frac{\lambda_0}{\gamma_0}L} d\lambda_0 = \int E_0^{(s)\text{vac II}} e^{i\frac{\lambda_0}{\gamma_0}L} d\lambda_0, \quad (17)$$

получим выражение для амплитуды поля излучения:

$$E_0^{(s)\text{rad}} = -\frac{4\pi^2 ieV\theta P^{(s)}}{\omega} e^{i\frac{\lambda_0^* + \frac{\omega\chi_0}{2} - L}{\gamma_0}} \left[ \left( 1 - \frac{\beta}{\sqrt{\beta^2 + 4\chi_g\lambda_{-g} C^{(s)^2} \frac{\gamma_g}{\gamma_0}}} \right) \left( \frac{\omega}{-\omega\chi_0 - 2\lambda_0^*} + \frac{\omega}{2(\lambda_0^* - \lambda_0^{(2)})} \right) \times \right. \\ \left. \times \left( 1 - e^{i\frac{\lambda_0^{(2)} - \lambda_0^*}{\gamma_0}L} \right) + \left( 1 + \frac{\beta}{\sqrt{\beta^2 + 4\chi_g\lambda_{-g} C^{(s)^2} \frac{\gamma_g}{\gamma_0}}} \right) \left( \frac{\omega}{-\omega\chi_0 - 2\lambda_0^*} + \frac{\omega}{2(\lambda_0^* - \lambda_0^{(1)})} \right) \left( 1 - e^{i\frac{\lambda_0^{(1)} - \lambda_0^*}{\gamma_0}L} \right) \right]. \quad (18)$$

Формула (18) позволяет описать спектральные и угловые характеристики излучения.

Прежде чем приступить к анализу спектрально-угловых характеристик, необходимо отметить, что три механизма излучения вносят вклад в полный выход излучения: тормозное излучение, переходное излучение и ПРИВ. Амплитуда  $E_0^{(s)\text{rad}}$  содержит вклады излучений, аналогичных параметрическому рентгеновскому излучению вдоль скорости релятивистского электрона в кристалле (ПРИВ) и переходному излучению (ПИ). Так как существование фона ПИ является главной помехой для наблюдения и экспериментального исследования ПРИВ, представим амплитуду  $E_0^{(s)\text{rad}}$  в виде суммы амплитуд ПРИВ и ПИ. Такое представление позволяет оценить вклады указанных механизмов излучения и интерференцию между ними.

Итак, представим выражение для поля излучения (18) в виде

$$E_0^{(s)\text{rad}} = E_0^{(s)\text{ПРИВ}} + E_0^{(s)\text{ПИ}}, \quad (19a)$$

$$E_0^{(s)\text{ПРИВ}} = \frac{4\pi^2 ieV\theta P^{(s)}}{\omega} e^{i\frac{\lambda_0^* + \frac{\omega\chi_0}{2} - L}{\gamma_0}} \frac{\omega^2\chi_g\lambda_{-g} C^{(s)^2}}{2\sqrt{\beta^2 + 4\chi_g\lambda_{-g} C^{(s)^2} \frac{\gamma_g}{\gamma_0}}} \times \frac{1}{\lambda_0^*} \left[ \frac{1 - e^{i\frac{\lambda_0^{(2)} - \lambda_0^*}{\gamma_0}L}}{\lambda_0^* - \lambda_0^{(2)}} - \frac{1 - e^{i\frac{\lambda_0^{(1)} - \lambda_0^*}{\gamma_0}L}}{\lambda_0^* - \lambda_0^{(1)}} \right], \quad (19b)$$

$$E_0^{(s)\text{ПИ}} = \frac{4\pi^2 ieV\theta P^{(s)}}{\omega} e^{i\frac{\lambda_0^* + \frac{\omega\chi_0}{2} - L}{\gamma_0}} \left( \frac{\omega}{\omega\chi_0 + 2\lambda_0^*} - \frac{\omega}{2\lambda_0^*} \right) \times \\ \times \left[ \left( 1 - \frac{\beta}{\sqrt{\beta^2 + 4\chi_g\lambda_{-g} C^{(s)^2} \frac{\gamma_g}{\gamma_0}}} \right) \left( 1 - e^{i\frac{\lambda_0^{(2)} - \lambda_0^*}{\gamma_0}L} \right) + \left( 1 + \frac{\beta}{\sqrt{\beta^2 + 4\chi_g\lambda_{-g} C^{(s)^2} \frac{\gamma_g}{\gamma_0}}} \right) \left( 1 - e^{i\frac{\lambda_0^{(1)} - \lambda_0^*}{\gamma_0}L} \right) \right]. \quad (19b)$$

Слагаемые в квадратных скобках выражений (19б) и (19в) представляют две ветви решения, соответствующие двум рентгеновским волнам, возбуждаемым в периодической структуре.

Для дальнейшего анализа излучения динамические добавки (11) представим в следующем виде:

$$\lambda_0^{(1,2)} = \frac{\omega |\chi'_g| C^{(s)}}{2\varepsilon} \left( -\xi^{(s)} + \frac{i\rho^{(s)}(1-\varepsilon)}{2} \pm \sqrt{\xi^{(s)2} + \varepsilon - 2i\rho^{(s)} \left( \frac{(1-\varepsilon)}{2} \xi^{(s)} + \kappa^{(s)} \varepsilon \right) - \rho^{(s)2} \left( \frac{(1-\varepsilon)^2}{4} + \kappa^{(s)2} \varepsilon \right)} \right), \quad (20)$$

где

$$\begin{aligned} \xi^{(s)}(\omega) &= \eta^{(s)}(\omega) + \frac{1-\varepsilon}{2v^{(s)}}, \\ \eta^{(s)}(\omega) &= \frac{\alpha}{2|\operatorname{Re}\sqrt{\chi_g\chi_{-g}}|C^{(s)}} \equiv \frac{\sin^2\theta_B}{V^2C^{(s)}} \frac{gT}{|\chi'_b - \chi'_a| \left| \sin\left(\frac{ga}{2}\right) \right|} \left( 1 - \frac{\omega(1-\theta\cos\varphi\cot\theta_B)}{\omega_B} \right), \\ v^{(s)} &= \frac{C^{(s)} \operatorname{Re}\sqrt{\chi_g\chi_{-g}}}{\chi'_0} \equiv \frac{2C^{(s)} \left| \sin\left(\frac{ga}{2}\right) \right|}{g} \left| \frac{\chi'_b - \chi'_a}{a\chi'_a + b\chi'_b} \right|, \\ \rho^{(s)} &= \frac{\chi''_0}{|\operatorname{Re}\sqrt{\chi_g\chi_{-g}}|C^{(s)}} \equiv \frac{a\chi''_a + b\chi''_b}{|\chi'_b - \chi'_a|C^{(s)}} \frac{g}{2 \left| \sin\left(\frac{ga}{2}\right) \right|}, \\ \kappa^{(s)} &= \frac{\chi''_g C^{(s)}}{\chi''_0} \equiv \frac{2C^{(s)} \left| \sin\left(\frac{ga}{2}\right) \right|}{g} \left| \frac{\chi''_b - \chi''_a}{a\chi''_a + b\chi''_b} \right|, \quad \varepsilon = \frac{\gamma_g}{\gamma_0}. \end{aligned} \quad (21)$$

Так как в области рентгеновских частот выполняется неравенство  $\frac{\sin^2\theta_B}{V^2C^{(s)}} \frac{gT}{|\chi'_b - \chi'_a| \left| \sin\left(\frac{ga}{2}\right) \right|} > 1$ , то  $\eta^{(s)}(\omega)$  является быстрой функцией от частоты  $\omega$ , поэтому для

дальнейшего анализа удобно рассматривать  $\eta^{(s)}(\omega)$  как спектральную переменную, характеризующую частоту  $\omega$ . Важным параметром в выражении (20) является параметр  $\varepsilon$ , который представляется в виде

$$\varepsilon = \frac{\sin(\delta + \theta_B)}{\sin(\delta - \theta_B)} \quad (22)$$

и определяет степень асимметрии отражения поля относительно поверхности мишени. Здесь  $\theta_B$  – угол между скоростью электрона и отражающими слоями;  $\delta$  – угол между поверхностью мишени и отражающими слоями. Заметим, что угол падения электрона на поверхность мишени  $\delta - \theta_B$  увеличивается при уменьшении параметра  $\varepsilon$  (рис. 2). При этом в симметричном случае  $\varepsilon = 1$ .

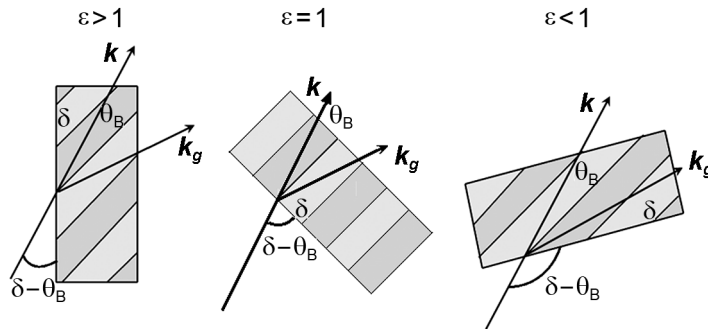


Рис. 2. Асимметричные ( $\varepsilon > 1$ ,  $\varepsilon < 1$ ) отражения излучения от периодической структуры. Случай  $\varepsilon = 1$  соответствует симметричному отражению

Величины динамических добавок  $\lambda_0^{(1,2)}$  рентгеновских волн, соответствующих двум ветвям решения дисперсионного уравнения (8), зависят не только от частоты фотона и параметров мишени, но и от параметра  $\varepsilon$ . Таким образом, дисперсия свободного фотона в периодической структуре зависит от асимметрии

$$k^{(1,2)} = \omega\sqrt{1+\chi_0} + \lambda_0^{(1,2)}(\omega, \varepsilon). \quad (23)$$

Дисперсия псевдофотона кулоновского поля определяется формулой

$$k^* = \omega\sqrt{1+\chi_0} + \lambda_0^* = \omega + \frac{\omega}{2}(\theta^2 + \gamma^{-2}). \quad (24)$$

Для возникновения рефлекса ПРИВ необходимо выполнение хотя бы одного из следующих равенств:

$$\operatorname{Re}(\lambda_0^* - \lambda_0^{(1)}) = 0, \quad \operatorname{Re}(\lambda_0^* - \lambda_0^{(2)}) = 0, \quad (25)$$

то есть реальная часть знаменателя хотя бы одного из слагаемых в квадратных скобках выражения (19б) должна быть равна нулю.

Подставляя (20) в (19б) и (19в), представим выражения для амплитуды параметрического рентгеновского излучения вдоль скорости электрона и переходного излучения в виде

$$E_0^{(s)\text{ПРИВ}} = \frac{4\pi^2 ieV\theta P^{(s)}}{\omega} e^{\frac{i\omega(\gamma^{-2} + \theta^2)L}{2\gamma_0}} \frac{1}{\gamma^{-2} + \theta^2 - \chi_0} \frac{1}{\sqrt{\xi^{(s)2} + \varepsilon}} \times \left[ \frac{1 - \exp(-ib^{(s)}\Omega^{(2)}(\omega) - b^{(s)}\rho^{(s)}\Delta^{(2)})}{\Omega^{(2)}(\omega) - i\rho^{(s)}\Delta^{(2)}} - \frac{1 - \exp(-ib^{(s)}\Omega^{(1)}(\omega) - b^{(s)}\rho^{(s)}\Delta^{(1)})}{\Omega^{(1)}(\omega) - i\rho^{(s)}\Delta^{(1)}} \right], \quad (26a)$$

$$E_0^{(s)\text{ПИ}} = \frac{4\pi^2 ieV\theta P^{(s)}}{\omega} e^{\frac{i\omega(\gamma^{-2} + \theta^2)L}{2\gamma_0}} \left( \frac{1}{\gamma^{-2} + \theta^2} - \frac{1}{\gamma^{-2} + \theta^2 - \chi_0} \right) \times \left[ \left( 1 - \xi^{(s)}/\sqrt{\xi^{(s)2} + \varepsilon} \right) \left( 1 - \exp(-ib^{(s)}\Omega^{(2)}(\omega) - b^{(s)}\rho^{(s)}\Delta^{(2)}) \right) + \left( 1 + \xi^{(s)}/\sqrt{\xi^{(s)2} + \varepsilon} \right) \left( 1 - \exp(-ib^{(s)}\Omega^{(1)}(\omega) - b^{(s)}\rho^{(s)}\Delta^{(1)}) \right) \right], \quad (26b)$$

где

$$\Delta^{(2)} = \frac{\varepsilon+1}{2\varepsilon} + \frac{1-\varepsilon}{2\varepsilon} \frac{\xi^{(s)}}{\sqrt{\xi^{(s)2} + \varepsilon}} + \frac{\kappa^{(s)}}{\sqrt{\xi^{(s)2} + \varepsilon}}, \quad \Delta^{(1)} = \frac{\varepsilon+1}{2\varepsilon} - \frac{1-\varepsilon}{2\varepsilon} \frac{\xi^{(s)}}{\sqrt{\xi^{(s)2} + \varepsilon}} - \frac{\kappa^{(s)}}{\sqrt{\xi^{(s)2} + \varepsilon}},$$

$$\sigma^{(s)} = \frac{1}{v^{(s)}} \left( \frac{\theta^2}{|\chi'_0|} + \frac{1}{\gamma^2 |\chi'_0|} + 1 \right), \quad b^{(s)} = \frac{\omega |\chi'_g| C^{(s)} L}{2 \gamma_0}, \quad \Omega^{(1,2)}(\omega) = \sigma^{(s)} + \left( \xi(\omega) \mp \sqrt{\xi(\omega)^2 + \varepsilon} \right) / \varepsilon. \quad (27)$$

Параметр  $b^{(s)}$  можно представить в виде

$$b^{(s)} = \frac{1}{2 \sin(\delta - \theta_B)} \frac{L}{L_{\text{ext}}^{(s)}}, \quad (28)$$

откуда видно, что он равен половине пути электрона в пластинке, выраженной в длинах экстинкции:

$$L_{\text{ext}}^{(s)} = \frac{1}{2C^{(s)}\omega} \frac{gT}{\left| \sin\left(\frac{ga}{2}\right) |\chi'_b - \chi'_a| \right|}. \quad (29)$$

Выход ПРИВ формируется в основном только одной из ветвей, точнее первой (20), соответствующей второму слагаемому в (26а). Как нетрудно убедиться, только в этом слагаемом обращается в нуль реальная часть знаменателя. Решение соответствующего уравнения

$$\sigma^{(s)} + \frac{\xi^{(s)} - \sqrt{\xi^{(s)2} + \varepsilon}}{\varepsilon} = 0 \quad (30)$$

определяет частоту  $\omega_*$ , в окрестности которой сосредоточен спектр фотонов ПРИВ, излучаемых под фиксированным углом наблюдения.

## 2. Спектрально-угловая плотность излучения

Подставляя (19а), (26а) и (26б) в хорошо известное [5] выражение для спектрально-угловой плотности рентгеновского излучения

$$\omega \frac{d^2 N}{d\omega d\Omega} = \omega^2 (2\pi)^{-6} \sum_{s=1}^2 |E_0^{(s)\text{rad}}|^2, \quad (31)$$

найдем выражения, описывающие вклады в спектрально-угловую плотность излучения механизмов ПРИВ и ПИ, а также слагаемого, являющегося результатом интерференции этих механизмов излучения:

$$\omega \frac{d^2 N_{\text{ПРИВ}}^{(s)}}{d\omega d\Omega} = \frac{e^2}{4\pi^2} P^{(s)2} \frac{\theta^2}{(\theta^2 + \gamma^{-2} - \chi_0')^2} R_{\text{ПРИВ}}^{(s)}, \quad (32a)$$

$$R_{\text{ПРИВ}}^{(s)} = \frac{1}{\xi^{(s)2} + \varepsilon} \frac{1 + e^{-2b^{(s)}\rho^{(s)}\Delta^{(1)}} - 2e^{-b^{(s)}\rho^{(s)}\Delta^{(1)}} \cos(b^{(s)}\Omega^{(1)}(\omega))}{\Omega^{(1)}(\omega)^2 + (\rho^{(s)}\Delta^{(1)})^2}; \quad (32б)$$

$$\omega \frac{d^2 N_{\text{ПИ}}^{(s)}}{d\omega d\Omega} = \frac{e^2}{4\pi^2} P^{(s)2} \theta^2 \left( \frac{1}{\theta^2 + \gamma^{-2}} - \frac{1}{\theta^2 + \gamma^{-2} - \chi_0'} \right)^2 R_{\text{ПИ}}^{(s)}, \quad (33a)$$

$$\begin{aligned} R_{\text{ПИ}}^{(s)} = & \left( 1 - \xi^{(s)} / \sqrt{\xi^{(s)2} + \varepsilon} \right)^2 \left( 1 + e^{-2b^{(s)}\rho^{(s)}\Delta^{(2)}} - 2e^{-b^{(s)}\rho^{(s)}\Delta^{(2)}} \cos(b^{(s)}\Omega^{(2)}(\omega)) \right) + \\ & + \left( 1 + \xi^{(s)} / \sqrt{\xi^{(s)2} + \varepsilon} \right)^2 \left( 1 + e^{-2b^{(s)}\rho^{(s)}\Delta^{(1)}} - 2e^{-b^{(s)}\rho^{(s)}\Delta^{(1)}} \cos(b^{(s)}\Omega^{(1)}(\omega)) \right) + \\ & + \frac{2\varepsilon}{\xi^{(s)2} + \varepsilon} \left( 1 + e^{-b^{(s)}\rho^{(s)}\frac{\varepsilon+1}{\varepsilon}} \cdot \cos\left( \frac{2b^{(s)}\sqrt{\xi^{(s)2} + \varepsilon}}{\varepsilon} \right) - \right. \\ & \left. - e^{-b^{(s)}\rho^{(s)}\Delta^{(2)}} \cos(b^{(s)}\Omega^{(1)}(\omega)) - e^{-b^{(s)}\rho^{(s)}\Delta^{(1)}} \cos(b^{(s)}\Omega^{(1)}(\omega)) \right); \quad (33б) \end{aligned}$$

$$\omega \frac{d^2 N_{\text{ИНТ}}^{(s)}}{d\omega d\Omega} = \frac{e^2}{4\pi^2} P^{(s)2} \theta^2 \left( \frac{1}{\theta^2 + \gamma^{-2}} - \frac{1}{\theta^2 + \gamma^{-2} - \chi_0'} \right) \frac{1}{\theta^2 + \gamma^{-2} - \chi_0'} R_{\text{ИНТ}}^{(s)}, \quad (34a)$$

$$\begin{aligned} R_{\text{ИНТ}}^{(s)} = & \frac{-2}{\sqrt{\xi^{(s)2} + \varepsilon}} \text{Re} \left( \frac{1 - e^{-ib^{(s)}\Omega^{(1)}(\omega) - b^{(s)}\rho^{(s)}\Delta^{(1)}}}{\Omega^{(1)}(\omega) - i\rho^{(s)}\Delta^{(1)}} \left( \left( 1 - \xi^{(s)} / \sqrt{\xi^{(s)2} + \varepsilon} \right) \left( 1 - e^{ib^{(s)}\Omega^{(2)}(\omega) - b^{(s)}\rho^{(s)}\Delta^{(2)}} \right) + \right. \right. \\ & \left. \left. + \left( 1 + \xi^{(s)} / \sqrt{\xi^{(s)2} + \varepsilon} \right) \left( 1 - e^{ib^{(s)}\Omega^{(1)}(\omega) - b^{(s)}\rho^{(s)}\Delta^{(1)}} \right) \right) \right). \quad (34б) \end{aligned}$$

Выражения (32) – (34) составляют главный результат данной работы. Они получены в двухволновом приближении динамической теории дифракции с учетом поглощения излучения в среде и ориентации дифрагирующих слоев относительно поверхности пластинки.

### 3. Параметры динамического рассеяния рентгеновских волн

Как уже отмечалось выше, обычно рассматривают отражения от искусственной периодической структуры только в геометрии рассеяние Брэгга в симметричном случае, когда слои расположены параллельно поверхности мишени, хотя в кристаллической среде в основном излучение исследуется в геометрии рассеяния Лауэ по хорошо известным экспериментаторам причинам. Полученные выражения (32) – (34) позволяют исследовать зависимость характеристик излучений от толщины  $a$  и  $b$  разных аморфных сред с соответствующими диэлектрическими восприимчивостями  $\chi_a$  и  $\chi_b$ , а также от параметра асимметрии  $\varepsilon$  (см. (22)), определяющего угол  $\delta$  между отражающими слоями и поверхностью мишени.

Параметр  $v^{(s)}$  (см. (21)), принимающий значения в промежутке  $0 \leq v^{(s)} \leq 1$ , определяет степень отражения поля от периодической структуры, которая обусловливается характером интерференции волн, отраженных от разных плоскостей (конструктивным ( $v^{(s)} \approx 1$ ) или деструктивным ( $v^{(s)} \approx 0$ )). В случае  $g = \frac{2\pi}{T}$  его можно представить в виде

$$v^{(s)} = \frac{2C^{(s)} \left| \sin\left(\frac{\pi a}{T}\right) \right|}{g} \left| \frac{\chi'_b - \chi'_a}{a\chi'_a + b\chi'_b} \right|. \quad (35)$$

Параметр  $\rho^{(s)} = \frac{L_{\text{ext}}^{(s)}}{L_{\text{abs}}}$  (см. (21)) характеризует степень поглощения рентгеновских волн периодической средой и равен отношению длины экстинкции  $L_{\text{ext}}^{(s)}$  к длине поглощения  $L_{\text{abs}} = \frac{T}{\omega |a\chi''_a + b\chi''_b|}$  рентгеновских волн в периодической структуре. Необходимо отметить, что на глубине, равной длине экстинкции, энергия первичной волны полностью перекачивается во вторичную волну, распространяющуюся в брэгговском направлении.

Параметр  $\kappa^{(s)}$  (см. (21)) определяет степень проявления эффекта аномального низкого фотопоглощения (эффекта Бормана) в прохождении рентгеновских фотонов через искусственную многослойную периодическую структуру, хорошо известного в физике рассеяния рентгеновских лучей в кристалле [6]. Проявление эффекта Бормана в кристалле для когерентного рентгеновского излучения для различной асимметрии отражения было исследовано в работе [7]. Необходимым условием проявления эффекта Бормана как для кристаллической, так и для искусственной периодической структуры является  $\kappa^{(s)} \approx 1$ . При этом из выражения  $\Delta^{(1)}$  в (27)

$$\Delta^{(1)} = \frac{\varepsilon + 1}{2\varepsilon} - \frac{1 - \varepsilon}{2\varepsilon} \frac{\xi^{(s)}}{\sqrt{\xi^{(s)^2} + \varepsilon}} - \frac{\kappa^{(s)}}{\sqrt{\xi^{(s)^2} + \varepsilon}} \quad (36)$$

следует уменьшение величины  $\Delta^{(1)}$  при увеличении параметра  $\kappa^{(s)}$ , а вместе с тем уменьшение затухания ПРИВ (см. (32б)), так как уменьшается характеризующее поглощение произведение  $\rho^{(s)}\Delta^{(1)}$ . Таким образом, видно, что эффект Бормана при определенных условиях может проявиться и в рентгеновском когерентном излучении релятивистской частицы на искусственных многослойных периодических структурах.

### 4. Сравнение спектрально-угловых распределений

Для упрощения формул и наглядности результата рассмотрим случай, когда слои имеют одинаковую толщину, то есть  $T = 2a = 2b$ . Для случая  $\sigma$ -поляризованных волн формула (32), описывающая спектр ПРИВ, принимает следующий вид:

$$\omega \frac{d^2 N_{\text{ПРИВ}}^{(1)}}{d\omega d\Omega} = \frac{e^2}{4\pi^2} \frac{\theta_{\perp}^2}{\left( \theta_{\perp}^2 + \gamma^{-2} + \frac{|\chi'_a + \chi'_b|}{2} \right)^2} R_{\text{ПРИВ}}, \quad (37a)$$



$$R_{\text{ПРИВ}} = \frac{1}{\xi(\omega)^2 + \varepsilon} \frac{1 + e^{-2b^{(1)}\rho^{(1)}\Delta^{(1)}} - 2e^{-b^{(1)}\rho^{(1)}\Delta^{(1)}} \cos(b^{(1)}\Omega^{(1)}(\omega))}{\Omega^{(1)}(\omega)^2 + (\rho^{(s)}\Delta^{(1)})^2}, \quad (376)$$

где

$$\Omega^{(1)}(\omega) = \sigma(\theta, \gamma) + \left( \xi(\omega) - \sqrt{\xi(\omega)^2 + \varepsilon} \right) / \varepsilon, \quad \sigma(\theta, \gamma) = \frac{\pi}{|\chi'_b - \chi'_a|} \left( \theta_{\perp}^2 + \gamma^{-2} + \frac{|\chi'_a + \chi'_b|}{2} \right),$$

$$\Delta^{(1)} = \frac{\varepsilon + 1}{2\varepsilon} - \frac{1 - \varepsilon}{2\varepsilon} \frac{\xi}{\sqrt{\xi^2 + \varepsilon}} - \frac{\kappa^{(1)}}{\sqrt{\xi^2 + \varepsilon}}, \quad \xi(\omega) = \frac{2\pi \sin^2(\theta_B)}{|\chi'_b - \chi'_a|} \left( 1 - \frac{\omega}{\omega_B} \right) + \frac{1 - \varepsilon}{2\nu^{(1)}},$$

$$\kappa^{(1)} = \frac{2}{\pi} \left| \frac{\chi''_b - \chi''_a}{\chi''_b + \chi''_a} \right|, \quad \rho^{(1)} = \frac{\pi}{2} \left| \frac{\chi''_b + \chi''_a}{\chi'_b - \chi'_a} \right|, \quad \nu^{(1)} = \frac{2}{\pi} \left| \frac{\chi'_b - \chi'_a}{\chi'_b + \chi'_a} \right|. \quad (38)$$

Для сравнения спектрально-угловой плотности излучения в искусственной периодической и кристаллической структурах в приблизительно одинаковых условиях запишем выражения для спектрально-угловой плотности ПРИВ в кристалле [8] для  $\sigma$ -поляризованных волн

$$\omega \frac{d^2 N_{\text{ПРИВ}}^{(1)\text{Cr}}}{d\omega d\Omega} = \frac{e^2}{4\pi^2} \frac{\theta_{\perp}^2}{(\theta_{\perp}^2 + \gamma^{-2} - \chi'_0)^2} R_{\text{ПРИВ}}^{\text{Cr}}, \quad (39a)$$

$$R_{\text{ПРИВ}}^{\text{Cr}} = \frac{1}{\xi(\omega)^2 + \varepsilon} \frac{1 + e^{-2b^{(1)}\rho^{(1)}\Delta^{(1)}} - 2e^{-b^{(1)}\rho^{(1)}\Delta^{(1)}} \cos(b^{(1)}\Omega^{(1)}(\omega))}{\Omega^{(1)}(\omega)^2 + (\rho^{(s)}\Delta^{(1)})^2}. \quad (39b)$$

Здесь соответствующие обозначения (38) будут иметь вид

$$\kappa^{(1)} = \frac{\chi''_g}{\chi''_0}, \quad \rho^{(1)} = \frac{\chi''_0}{|\chi'_g|}, \quad \nu^{(1)} = \frac{\chi'_g}{\chi'_0}, \quad \sigma(\theta, \gamma) = \frac{1}{|\chi'_g|} (\theta_{\perp}^2 + \gamma^{-2} - \chi'_0),$$

$$\xi(\omega) = \frac{2 \sin^2(\theta_B)}{|\chi'_g|} \left( 1 - \frac{\omega}{\omega_B} \right) + \frac{1 - \varepsilon}{2\nu^{(1)}}. \quad (40)$$

По формулам (39б) и (37б) построены кривые угловой плотности ПРИВ ( $\omega_B = 8$  кэВ) в кристаллической мишени вольфрама W (рис. 3) и ПРИВ в многослойной периодической структуре, состоящей из аморфных слоев Be и W (рис. 4). Путь электрона в мишени  $L_e = 56$  мкм, параметр

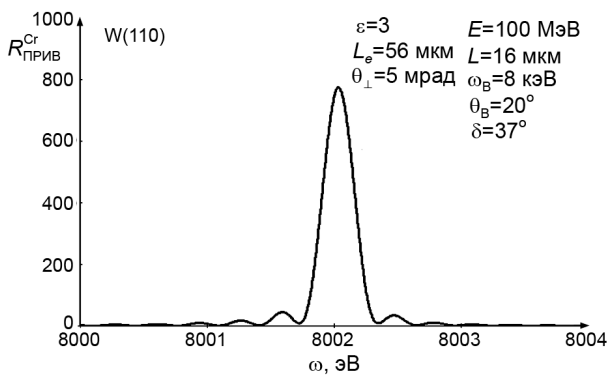


Рис. 3. Спектр ПРИВ релятивистского электрона в кристаллической среде W

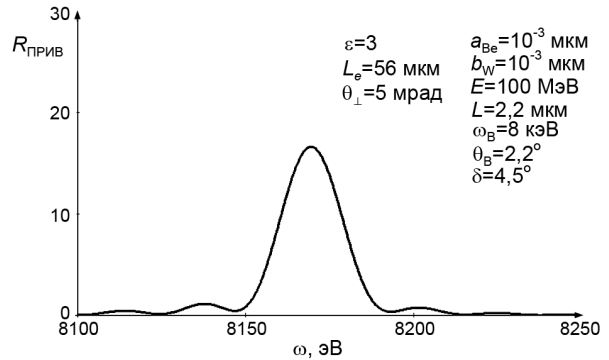


Рис. 4. Спектр ПРИВ релятивистского электрона в искусственной периодической слоистой структуре Be-W в аналогичных условиях рис. 3

асимметрии  $\varepsilon=3$  и угол наблюдения  $\theta_{\perp}=5$  мрад выбраны одинаковыми для обоих случаев. Из рис. 3 и 4 следует, что амплитуда спектра в кристалле существенно выше, чем в искусственной периодической структуре, однако ширина спектра в искусственной периодической структуре оказывается гораздо больше ширины спектра в кристалле, поскольку в этом случае электрон пересекает меньшее число неоднородностей. В этой связи экспериментальное исследование пика ПРИВ в искусственной периодической структуре становится интересным и менее сложным, чем в кристаллической среде.

Рассмотрим соотношения угловых плотностей для этих двух различных сред. Угловые плотности, описывающие ПРИВ в искусственной периодической структуре и кристаллической среде, принимают следующий вид:

$$\frac{dN_{\text{ПРИВ}}^{(1)}}{d\Omega} = \frac{e^2}{4\pi^2} \frac{\theta_{\perp}^2}{\left(\theta_{\perp}^2 + \gamma^{-2} + \frac{|\chi'_a + \chi'_b|}{2}\right)^2} \int R_{\text{ПРИВ}} \frac{d\omega}{\omega}; \quad (41)$$

$$\frac{dN_{\text{ПРИВ}}^{(1)\text{Cr}}}{d\Omega} = \frac{e^2}{4\pi^2} \frac{\theta_{\perp}^2}{\left(\theta_{\perp}^2 + \gamma^{-2} - \chi'_0\right)^2} \int R_{\text{ПРИВ}}^{\text{Cr}} \frac{d\omega}{\omega}. \quad (42)$$

Из рис. 5 и 6, кривые на которых построены по формулам (41) и (42), следует, что угловая плотность ПРИВ из искусственной периодической структуры многократно превышает угловую плотность ПРИВ из кристалла, при этом и выход фотонов также будет выше.

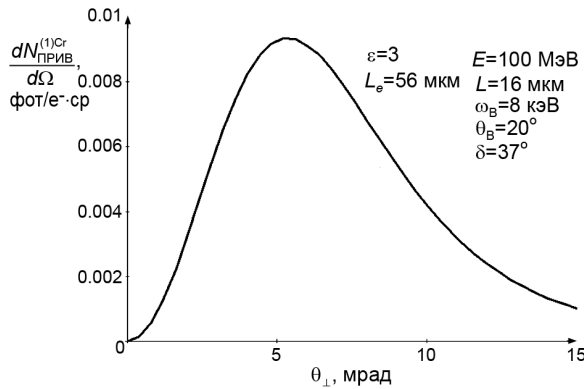


Рис. 5. Угловая плотность ПРИВ релятивистского электрона, пересекающего искусственную периодически слоистую структуру Ве–W

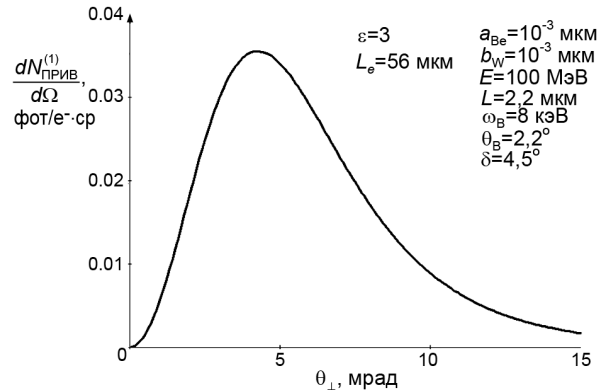


Рис. 6. Угловая плотность ПРИВ релятивистского электрона, пересекающего кристаллическую пластинку W в аналогичных условиях рис. 5

Так как существование фона переходного излучения является главной помехой для наблюдения ПРИВ, то рассмотрим ПРИВ на фоне ПИ. Для этого спектрально угловую плотность ПИ в искусственной периодической структуре для  $\sigma$ -поляризованных волн запишем в виде

$$\omega \frac{d^2 N_{\text{ПИ}}^{(1)}}{d\omega d\Omega} = \frac{e^2}{4\pi^2} \theta_{\perp}^2 \left( \frac{1}{\theta_{\perp}^2 + \gamma^{-2}} - \frac{1}{\theta_{\perp}^2 + \gamma^{-2} + \frac{|\chi'_a + \chi'_b|}{2}} \right)^2 R_{\text{ПИ}}^{(1)}. \quad (43)$$

На рис. 7 построенные кривые по формулам (37) и (43) с учетом (33б) демонстрируют пик ПРИВ на фоне ПИ-излучения. При увеличении же угла наблюдения (см. рис. 8) соотношение сигнал/фон увеличивается.

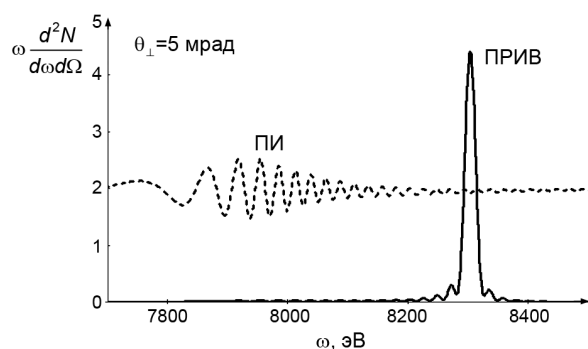


Рис. 7. Пик ПРИВ от искусственной периодической структуры на фоне переходного излучения при условиях рис. 4

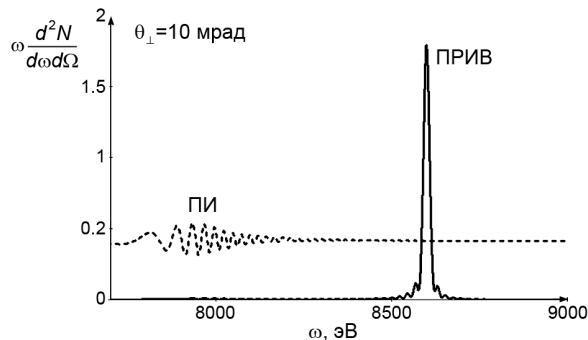


Рис. 8. То же, что на рис. 7, но при большем угле наблюдения

### Заключение

В работе построена динамическая теория когерентного рентгеновского излучения вдоль скорости релятивистской частицы в периодической слоистой среде для геометрии рассеяния Лауэ в общем случае асимметричного отражения поля частицы относительно поверхности мишени. На основе двухволнового приближения динамической теории дифракции получены выражения, описывающие спектрально-угловые характеристики излучения на основе двух механизмов: параметрического и переходного. Показано, что спектральный пик параметрического рентгеновского излучения в направлении вперед оказывается во много раз шире, чем аналогичный пик спектра излучения в монокристалле, что может облегчить его экспериментальное обнаружение и исследование. Показано, что угловая плотность ПРИВ релятивистского электрона в искусственной периодической структуре во много раз выше, чем в монокристалле в подобных условиях.

### СПИСОК ЛИТЕРАТУРЫ

1. Тер-Микаэлян М. Л. Влияние среды на электромагнитные процессы при высоких энергиях. – Ереван: АН АрмССР, 1969. – С. 459.
2. Piestrup M.A., Boyers D.G., Pincus C.I., et al. // Phys. Rev. A. – 1992. – V. 45. – P. 1183.
3. Nasonov N.N., Kaplin V.V., Uglov S.R., et al. // Phys. Rev. E. – 2003. – V. 68. – P. 3604.
4. Блажевич С.В., Колосова И.В., Носков А.В. // ЖЭТФ. – 2012. – Т. 141. – Вып. 4. – С. 627.
5. Базылев В.А., Жеваго Н.К. Излучение быстрых частиц в веществе и внешних полях. – М.: Наука, 1987. – 272 с.
6. Пинскер З.Г. Динамическое рассеяние рентгеновских лучей в идеальных кристаллах. – М.: Наука, 1974. – 369 с.
7. Blazhevich S.V. and Noskov A.V. // Nucl. Instr. Meth. B. – 2008. – V. 266. – P. 3777.
8. Блажевич С.В., Носков А.В. // ЖЭТФ. – 2009. – Т. 136. – Вып. 6. – С. 1043.

\*Белгородский государственный университет, г. Белгород, Россия

Поступила в редакцию 25.05.12.

\*\*Белгородский университет кооперации, экономики и права, г. Белгород, Россия

E-mail: blazh@bsu.edu.ru